

طراحی لرزه‌بی قاب‌های مهاربندی شده‌ی واگرای خمثی با تیر پیوند میانی با استفاده از روش انرژی

سیدرسول هیوقادی (استادیار)

شهرزاد دسته‌مالچی (دانشجوی کارشناسی ارشد)

سیدمهدي زهوي (دانشجو)

قطب علمي هندسي و مدبرت زيباخت‌هاي عمراني، دانشگاه تهران

در این نوشتار، به منظور طراحی قاب‌های فولادی مهاربندی شده‌ی واگرای خمثی، با استفاده از روش انرژی به تشریح نیروهای طراحی لرزه‌بی پرداخته‌ایم. برش پایه‌ی نهایی طراحی با استفاده از انرژی ورودی زلزله از طیف سرعت و سازوکار تسلیم فرضی و تغییرمکان جانبی هدف فرضی و زاویه‌ی چرخش غیراتجاعی تیر پیوند فرضی به دست آورده می‌شود. در این روش کنترل تغییر مکان جانبی سازه پس از طراحی آن براساس مقاومت ضرورتی ندارد. این روش تشکیل سازوکار فرض شده را در حالت نهایی برای سازه تضمین می‌کند. به منظور مقایسه‌ی پاسخ لرزه‌بی سازه‌ی طراحی شده به روش انرژی و استاتیکی معادل، یک قاب 10° طبقه به دو روش فوق طراحی شده و نتایج تحلیل استاتیکی غیرخطی آن‌ها با یکدیگر مقایسه شده است. نتایج نشان می‌دهد که طراحی به روش انرژی باعث افزایش جذب و استهلاک انرژی زلزله و نهایتاً شکل‌پذیری بیشتر سازه می‌شود.

rmirghaderi@ut.ac.ir
shahrzaddastmalchi@hotmail.com
mzahrai@ut.ac.ir

وازگان کلیدی: روش انرژی، طراحی لرزه‌بی، پاسخ لرزه‌بی، سازوکار تسلیم،
مقابل خمیری، مهاربندی واگرای خمثی.

۱. مقدمه

این نوشتار به عنوان نوآوری تحقیق از این روش در طراحی قاب‌های مهاربندی شده‌ی واگرای خمثی استفاده می‌شود، به طوری که انهدام سازه قبل از تشکیل سازوکار تسلیم فرضی -- همان تسلیم خمثی تیرهای پیوند خمثی طبقات و پای ستون‌های طبقه‌ی اول -- رخ ندهد و سازه بتواند از تمام ظرفیت خود برای استهلاک انرژی زلزله استفاده کند.

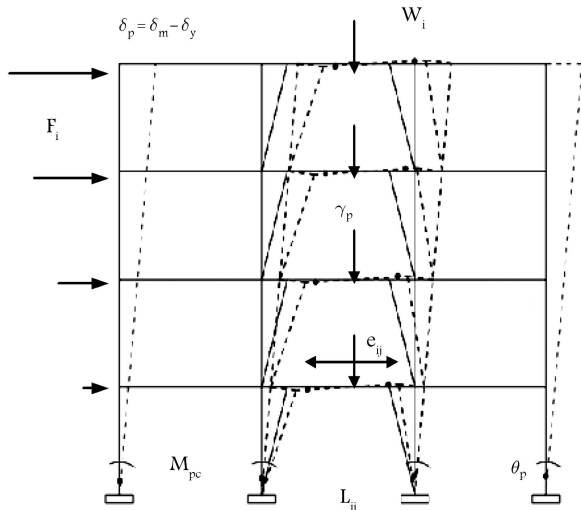
۲. تعادل انرژی در قاب‌های چندطبقه‌ی مهاربندی شده‌ی خمثی واگرای

مفهوم تعادل انرژی مبتنی بر این فرض است که مقدار انرژی مورد نیاز برای پوش یک سازه به صورت بارگذاری یک طرفه تا تغییر مکان هدف برابر است با بیشترین انرژی ورودی زلزله، که با مقدار $MS^{+} / 5^{\circ}$ تقریب زده می‌شود. M جرم سازه و S° سرعت طیفی است.^[۱]

قابل مهاربندی شده‌ی واگرای خمثی چنددهانه و با تعداد طبقات متفاوت در نظر گرفته می‌شود. سازوکار تسلیم قاب مانند شکل ۱ فرض می‌شود. تغییر شکل خمیری قاب بعد از رسیدن سازه به نقطه‌ی تسلیم رخ می‌دهد. بعد از تشکیل سازوکار تسلیم، تغییر مکان جانبی نسبی قاب در ارتفاع سازه به صورت یکنواخت فرض شده

عملکرد سازه‌ها هنگام زلزله غیر ارجاعی است و طراحی سازه‌ها براساس تحلیل کشسان نمی‌تواند بیان‌گر رفتار سازه به هنگام زلزله باشد. طراحی مطلوب باید به گونه‌ی باشد که موجود شرایط عملکرد غیراتجاعی در سازه‌ها باشد. هدف از این طراحی استفاده از بیشینه از ظرفیت استهلاک سازه‌ها است. با استفاده از روش انرژی می‌توان اعضای شکل‌پذیر سازه را طوری متناسب طراحی کرد که از بیشترین ظرفیت شان برای اثلاف انرژی ورودی زلزله استفاده کنند. این روش برای اساس استوار است که المان‌های نقلی در طول زلزله کشسان باقی می‌مانند و نیز تمام انرژی ورودی زلزله توسط اعضای کنترل شونده در طی تغییرشکل تلف می‌شود. در این پژوهش، نیروهای طراحی لرزه‌بی با استفاده از مفهوم انرژی و همچنین روابطی برای جلوگیری از تشکیل سازوکارهای نامطلوب سازه‌بی، برای طراحی قاب‌های چندطبقه‌ی مهاربندی شده‌ی واگرای خمثی بیان می‌شود. در انتها، یک قاب 10° طبقه به دو روش انرژی و استاتیکی معادل طراحی شده و نتایج تحلیل استاتیکی غیرخطی آن‌ها با یکدیگر مقایسه می‌شود.

این روش درگذشته برای طراحی لرزه‌بی قاب‌های خمثی استفاده شده است.^[۱] به این ترتیب تشکیل سازوکار تسلیم اولیه که عبارت است از تسلیم خمثی تمام تیرهای طبقات و پای ستون‌های طبقه اول، قبل از رسیدن سازه تضمین می‌شود. اما در



شکل ۱. سازوکار تسیلیم قاب واگرای خمشی با m دهانه و n طبقه.

انرژی به دست آمده از رابطه ۴ باید توسط مفاصل خمیری نشان داده شده در سازوکار تسیلیم (شکل ۱) تalf شود که برابر است با:

$$E_p = (m+1)M_{pc}\theta_p + 2 \sum_{j=1}^p \mu_j \sum_{i=1}^n \beta_i M_{pbr} \gamma_{pij} \quad (5)$$

که در آن M_{pbr} ممان مرجع خمیری تیرپیوند در دهانه‌ی زام، M_{pc} ممان خمیری پای سوتون‌ها در طبقه‌ی اول، $\mu_j \beta_i M_{pbr}$ ظرفیت ممان خمیری تیرهای پیوند در طبقه‌ی زام دهانه‌ی زام، γ_{pij} چربخش غیرارتجاعی تیرپیوند در طبقه‌ی زام دهانه‌ی زام، m تعداد دهانه‌های قاب، n تعداد طبقات قاب، p تعداد دهانه‌های مهاربندی شده، θ_p تغییر مکان جانبی نسبی غیرکشسان قاب و β_i ضریب توزیع مقاومت تیرهای در طبقه‌ی زام و $l_r/l_j = l_r/l_j$ ضریب ممان مرجع تیرهای پیوند به طول دهانه‌ی زام. در ضمن پس از تسیلیم، نیروهای خارجی باید با نیروهای داخلی در تعادل باشند. با مساوی قراردادن کار داخلی انجام‌شده توسط مفاصل خمیری با کار خارجی انجام‌شده توسط نیروهای اینرسی و بارهای نقلی داریم:

$$(m+1)M_{pc}\theta_p + 2 \sum_{j=1}^p \mu_j \sum_{i=1}^n \beta_i M_{pbr} \gamma_{pij} = \sum_{i=1}^n F_i h_i \theta_p + \sum_{i=1}^n W_i h_i \frac{\theta_p}{2} \quad (6)$$

که در آن W_i وزن طبقه‌ی زام، F_i نیروی اینرسی معادل در تراز زام، h_i ارتفاع تیر در تراز زام است. برای توزیع نیروی اینرسی در ارتفاع از رابطه ۷ استفاده می‌کنیم:

$$F_i = \frac{W_i h_i^k}{\sum_{j=1}^n W_j h_j^k} V_y \quad (7)$$

مقدار k برابر است با:

$$K = 0,5T + 0,75$$

$$If T \leq 0,5 \rightarrow k = 1$$

$$If T \geq 2,5 \rightarrow k = 2 \quad (8)$$

با استفاده از روابط ۴ تا ۸ داریم:

$$V_y \left(\frac{\sum_{i=1}^n W_i h_i^{k+1}}{\sum_{i=1}^n W_i h_i^k} \right) \theta_p + \sum_{i=1}^n W_i \frac{\theta_p h_i}{2} = \frac{WT^k g}{\lambda \pi^k} \left(a^k - \left(\frac{V_y}{W} \right)^k \right) \quad (9)$$

با حل معادله ۹ برای $\frac{V_y}{W}$ داریم:

$$\frac{V_y}{W} = \frac{-\alpha + \sqrt{\alpha^2 - 4(\beta - a^k)}}{2} \quad (10)$$

که در آن α پارامتری بی‌بعد است که به سختی و تغییر مکان جانبی نسبی خمیری سازه وابسته است و مقدار آن برابر است با:

$$\alpha = \left(\frac{\sum_{i=1}^n W_i h_i^{k+1}}{\sum_{i=1}^n W_i h_i^k} \right) \frac{\theta_p \lambda \pi^k}{T^k g} \quad (11)$$

و تمام انرژی زلزله باید توسط مفاصل خمیری تیرهای پیوند مستهلك شوند. تغییر مکان جانبی نسبی غیرکشسان قاب برابر چربخش خمیری سازه است؛ بنابراین کنترل تغییر مکان جانبی نسبی طبقات با محدودکردن چربخش اعمال می‌شود و همچون روش استاتیکی معادل، نیازی به کنترل تغییر مکان جانبی سازه پس از طراحی آنها براساس مقاومت نیست.^[۱]

هازنر نشان داد که منحنی سرعت طیفی سازه برای بیشتر زلزله‌ها در دامنه‌ی وسیعی از پریودها ثابت‌اند. براین اساس، هازنر نشان داد که مینگین بیشینه انرژی ورودی سیستم چند درجه آزادی، می‌تواند برابر باشد با:^[۲]

$$E = \frac{1}{2} M S_v^2 = \frac{W g a^k T^k}{\lambda \pi^k} \quad (1)$$

که در آن M جرم کل سازه، S_v سرعت طیفی به دست آمده از طیف پاسخ کشسان، a شتاب طیفی نرمال شده نسبت به شتاب ثقل (g)، W وزن سازه و T پریود اصلی سازه است. تعیین مقدار دقیق انرژی ورودی زلزله بستگی دارد به خصوصیات سازه و زلزله‌ی مورد نظر، که به دست آوردن آن وقت‌گیر است. با استفاده از رابطه‌ی ساده‌ی ۱ می‌توان با تقریب مناسبی به این مقدار انرژی دست یافت.

آکی‌یاما نشان داد که با دقت قابل قبولی می‌توان انرژی کشسان را برای یک سازه‌ی یک‌درجه آزادی به صورت رابطه‌ی ۲ نوشت:^[۳]

$$E_e = \frac{1}{2} M \left(\frac{T}{2\pi} \cdot \frac{V_y}{W} \cdot g \right) \quad (2)$$

که در آن V_y برش پایه تسیلیم و T پریود سازه که با استفاده از رابطه‌ی تجربی $(T = 0,08h^{3/2})$ به دست می‌آید. براساس فرض هازنر، انرژی ورودی به سازه برابر است با مجموع انرژی کشسان و خمیری.

که در آن E_e انرژی کشسان و E_p انرژی خمیری است. براساس روابط ۱ و ۲ کل انرژی خمیری که سازه باید در طول زلزله مستهلك کند برابر است با:

$$E_p = \frac{WT^k g}{\lambda \pi^k} \left[a^k - \left(\frac{V_y}{W} \right)^k \right] \quad (3)$$

نحوی به دست آوردن مقدار β_i در بخش بعدی شرح داده می‌شود. بنابراین تنها پارامتر مجهول رابطه‌ی $14 M_{pb}$ است. مقدار مقاومت اسمی تیرهای پیوند در طبقه‌ی نام دهانه‌ی زام، از نامساوی 15 به دست می‌آید:

$$\varphi M_{pbij} \geq \mu_j \beta_i M_{pb}$$
 (۱۵)

که در آن φ ضریب مقاومتی است که طبق آین نامه‌ی AISC-LRFD برابر $۰/۹$ است و M_{pbij} ظرفیت ممان خمیری تیرپیوند در طبقه‌ی i و دهانه‌ی j است که برابر $Z_{bij} F_y$ است. همچنین Z_{bij} مدول خمیری تیرپیوند در طبقه‌ی i و دهانه‌ی j و مقاومت تسلیم اسمی تیر است. از آنجا که تیرپیوند خمشی است، باید رابطه‌ی 16 برای آن صدق کند:

$$e_{ij} \geq ۲,۶ \frac{Z_{bij} F_y}{۰,۶ A_{wij} F_y} = \frac{۱۳ Z_{bij}}{۳ A_{wij}}$$
 (۱۶)

که در آن A_{wij} سطح مقطع جان تیرپیوند در طبقه‌ی i و دهانه‌ی j است. به منظور اعمال محدودیت چرخش غیر ارجاعی تیرپیوند داریم:

$$\gamma_{pij} = \frac{l_{ij}}{e_{ij}} \theta_p \leq ۰,۰۲$$
 (۱۷)

از رابطه‌ی 17 داریم:

$$e_{ij} \geq \frac{l_{ij}}{۰,۰۲} \theta_p$$
 (۱۸)

از روابط 16 و 18 داریم:

$$e_{ij} \geq \max\left(\frac{۱۳ Z_{bij}}{۳ A_{wij}}, \frac{l_{ij}}{۰,۰۲} \theta_p\right)$$
 (۱۹)

با استفاده از روابط 15 و 19 ابعاد تیرهای پیوند به دست می‌آید.

۲.۳. توزیع مقاومتی تیرهای پیوند

مقدار β_i به مقاومت و سختی نسبی طبقات بستگی دارد. انتخاب مقدار β_i تأثیر قابل توجهی در پاسخ لرزه‌ی سازه دارد. با توجه به فرض تغییر مکان جانبی نسبی یکنواخت در ارتفاع سازه که در تعیین نیروهای طراحی از آن استفاده شد، این مقاومت نسبی نیز باید چنان انتخاب شود که با نیروهای اعمالی در طول زلزله مطابقت داشته باشد. این فرض همچنین تضمینی است برای این که انرژی ورودی در سازه تلف می‌شود و از متمرکز شدن خرابی در یک طبقه جلوگیری می‌کند. به عنوان تقریب اولیه، توزیع نسبی برش‌های طبقات را در طول زلزله می‌توان با توزیع برش‌های استاتیکی طبقات - که طبق رابطه‌ی 7 محاسبه می‌شود - تقریب زد. نسبت واقعی برش طبقات در طول زلزله در ترازو به بالاترین طبقه (ترازو n) مطابق رابطه‌ی 20 در نظر گرفته می‌شود:

$$\beta_i = \left(\frac{V_i}{V_n} \right)^b$$
 (۲۰)

که در آن V_i برش‌های استاتیکی در ترازو نام، و V_n ترازو بلندترین طبقه است که از رابطه‌ی 7 محاسبه می‌شود. b ضریب عددی است که باید تعیین شود.

بهترین راه تخمین ضریب b ، استفاده از نمودار حداقل مریعات است که با نمودار حاصل از برش‌های واقعی به دست آمده از زلزله‌های مختلف متناسب است. چهار قاب و اگرای 6 طبقه‌ی یکسان با پای گیردار، برای تعیین مقاومت

پارامتر β که ناشی از در نظر گرفتن اثر بارهای ثقلی است و به تغییر مکان جانبی نسبی سازه بستگی دارد، برابر است با:

$$\beta = \sum_{i=1}^n W_i \frac{\theta_p h_i \Delta \pi^i}{\Delta W T^i g} \quad (۲۱)$$

پس از این که برش پایه تعیین شد، نیروی طراحی هر ترازو با استفاده از رابطه‌ی 7 به دست می‌آید.

به منظور بدست آوردن مقدار تغییر مکان جانبی نسبی خمیری، با توجه به تغییر مکان جانبی نسبی مجاز برای سازه‌های با پریود بزرگ تر از ۷ ثانیه برابر $۰/۲$ ٪ است.^[۴] بنابراین اگر تغییر مکان جانبی نسبی کشسان (تسلیم) سازه به دست آورده شود، مقدار تغییر مکان جانبی نسبی خمیری را نیز می‌توان تعیین کرد. برای به دست آوردن مقدار تغییر مکان جانبی نسبی کشسان، تحلیل استاتیک غیرخطی انجام می‌شود و سپس مشخصی برش پایه - تغییر مکان با یک نمودار دوخطی معادل می‌شود؛ تغییر مکان نقطه‌ی از منحنی که شیب آن عوض می‌شود «مقدار تغییر مکان کشسان» است.^[۲]

۳. طراحی قاب و اگرای خمشی با استفاده از روش انرژی

در این بخش به طراحی قاب مهاربندی شده‌ی و اگرای خمشی با استفاده از روش انرژی پرداخته می‌شود. برای طراحی اعضای سازه علاوه بر استفاده از مفهوم انرژی، برای جلوگیری از تشکیل سازوکارهای نامطلوب از روابطی استفاده می‌شود که جزئیات آن در ادامه شرح داده می‌شود.

۱.۳. طراحی تیرهای پیوند

با در نظر گرفتن سازوکار قاب نشان داده شده در شکل ۱، ارتباط بین چرخش غیر ارجاعی تیرپیوند و تغییر مکان جانبی سازه عبارت است از:

$$\gamma_{pij} = \frac{l_{ij}}{e_{ij} h_i} \delta_p = \frac{l_{ij}}{e_{ij}} \theta_p \quad (۲۲)$$

که در آن z_i طول دهانه‌ی مهاربندی شده در طبقه‌ی نام دهانه‌ی زام، e_{ij} طول تیرپیوند در طبقه‌ی نام دهانه‌ی زام، و δ_p تغییر مکان جانبی غیر ارجاعی سازه است. بنابراین رابطه‌ی تعادل قاب چنین نوشته می‌شود:

$$(m+1) M_{pc} + 2 \sum_{j=1}^p \mu_j \sum_{i=1}^n \beta_i M_{pb} \frac{l_{ij}}{e_{ij}} = \sum_{i=1}^n F_i h_i + \sum_{i=1}^n W_i h_i \frac{\theta_p}{2} \quad (۲۳)$$

اگر مقدار h_i , θ_p , F_i , W_i , β_i و M_{pc} معلوم باشد، تنها مجهول رابطه‌ی $14 M_{pb}$ خواهد بود. برای قاب‌های با پای گیردار مقدار M_{pc} را باید به‌گونه‌ی متناسب تخمین زد. این مقدار مناسب M_{pc} را می‌توان توسط سازوکار فرضی دیگری غیر از سازوکار فرض شده در شکل ۱ به دست آورد. در قاب خمشی این مقدار با فرض جلوگیری از تشکیل سازوکار طبقه‌ی نرم در طبقه‌ی اول تخمین زده می‌شود. ولی در قاب‌های واگرای این این سازوکار را فرض کرد، بنابراین مقدار M_{pc} را صفر فرض کرده و قاب را طراحی می‌کنیم. برای بین بدن به این که قاب طراحی شده با این فرض دارای عملکرد مناسبی است، مثال‌هایی از قاب‌های چندطبقه را با این روش و روش استاتیکی معادل طراحی، و نتایج آن‌ها را با یکدیگر مقایسه می‌کنیم.

مکان‌های جانبی نسبی طبقات چهار قاب تحت سه رکورد زلزله در شکل ۲ نشان داده شده است. قاب‌ها به نحوی طراحی می‌شوند که پریوودهای اصلی و سازوکارهای تسلیم آنها تا حد ممکن به یکدیگر نزدیک باشند. پریوودهای اصلی قاب‌ها برابر $1,34$ و $1,22$ و $1,23$ و $1,27$ متر هستند. به ترتیب برای قاب‌های طراحی شده با b برابر $0,5$ ، $0,5$ و $0,5$ است. ابعاد اعضايی قاب‌ها در شکل ۳ و جداول ۲ و 3 نشان داده شده است. چنان‌که در شکل ۲ مشاهده می‌شود تغییرات مقاومتی تیرهای پیوند در ارتفاع سازه نقش قابل توجهی در پاسخ لرزه‌ی سازه‌ها بازی می‌کند.

در مقادیر b برابر $0,75$ دامنه‌ی بیشینه تغییر مکان نسبی جانبی طبقات تقریباً یکسان است و در b برابر 1 مقدار دامنه‌ی این تغییر زیاد است. بیشینه‌ی برش طبقات در طول زلزله (V_{ei}) را در هر طبقه نسبت به بیشینه‌ی برش طیقه در بام (V_{en}) نرمال می‌کنیم (شکل ۴).

با استفاده از این مقادیر، منحنی حداقل مربعات را به منحنی برش‌های پایه‌ی نرمال شده، با استفاده از رابطه‌ی 20 رسم می‌کنیم. مقدار b با استفاده از روش حداقل مربعات برابر $0,85$ به دست می‌آید که منحنی آن در شکل ۳ با خط ممتد نشان داده شده است. بنابراین مقدار مناسب β_i در هر تراز برابر $(V_i/V_n)^{0,85}$ است.

۳. طراحی مهاربندها

برای طراحی مهاربندها از نمودار آزاد نشان داده شده در شکل ۵ استفاده می‌کنیم. برای اطمینان از این که مهاربندها پس از تیرهای پیوند تسلیم می‌شوند و تا رسیدن

جدول ۲. ابعاد تیرهای پیوند و تیرهای خارج از ناحیه‌ی پیوند قاب‌های مهاربندی شده‌ی و اگرای خمی

طبقه						
۶	۵	۴	۳	۲	۱	β_i
$1,00$	$1,83$	$2,5$	$3,00$	$2,33$	$3,50$	$(V_i/V_n)^{1,00}$
$1,00$	$1,58$	$1,99$	$2,28$	$2,47$	$2,56$	$(V_i/V_n)^{0,75}$
$1,00$	$1,35$	$1,58$	$1,73$	$1,83$	$1,87$	$(V_i/V_n)^{0,50}$
$1,00$	$1,16$	$1,26$	$1,32$	$1,35$	$1,37$	$(V_i/V_n)^{0,25}$

طبقه						
۶	۵	۴	۳	۲	۱	β_i
$W\ 14 \times 176$	$Ts\ 10 \times 10 \times 3,8$	$40 \times 39 \times 2,5 \times 2$	$B7$	$40 \times 34,5 \times 2,5 \times 1,5$	$B1$	۶
$W\ 14 \times 257$	$Ts\ 12 \times 12 \times 3,8$	$43 \times 44 \times 2,5 \times 2,5$	$B8$	$43 \times 37,5 \times 2,5 \times 1,5$	$B2$	۵
$W\ 14 \times 257$	$Ts\ 12 \times 12 \times 3,8$	$44 \times 45 \times 2,5 \times 2,5$	$B9$	$44 \times 39,5 \times 2,5 \times 1,5$	$B3$	۴
$W\ 14 \times 257$	$Ts\ 12 \times 12 \times 3,8$	$45 \times 40 \times 2,5 \times 2,5$	$B10$	$45 \times 40 \times 2,5 \times 1$	$B4$	۳
$W\ 14 \times 257$	$Ts\ 12 \times 12 \times 3,8$	$45 \times 45 \times 2,5 \times 2,5$	$B11$	$46 \times 40,5 \times 2,5 \times 1,5$	$B5$	۲
$W\ 14 \times 257$	$Ts\ 12 \times 12 \times 3,8$	$46 \times 46 \times 2,5 \times 2,5$	$B12$	$46 \times 41 \times 2,5 \times 1,5$	$B6$	۱

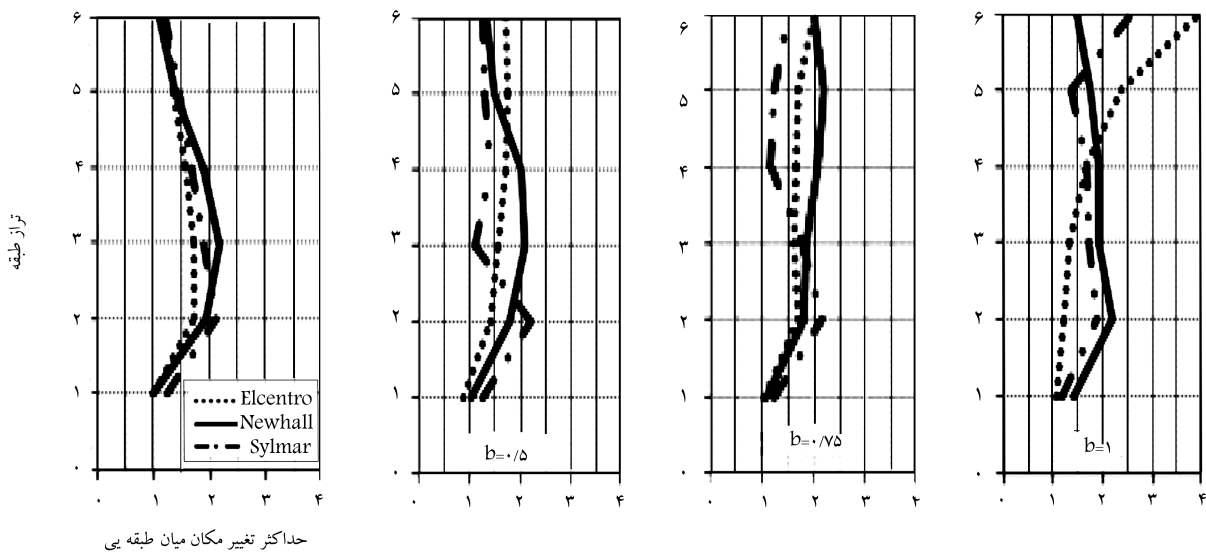
بهینه‌ی تیرها به کار می‌رود. اتصال تیر به ستون و مهاربند به تیر و ستون مفصلی است. طول تیرپیوند در هر قاب (e) برابر 4 متر است. طول دهانه برابر 6 متر و وزن هر طبقه $8,1$ تن است. این توابع براساس رابطه‌ی 20 با مقادیر b متفاوت شامل $0,25$ ، $0,5$ ، $0,75$ و 1 به کار می‌رود. پس از تعیین نیروهای طراحی، مقاومت مورد نیاز تیرهای پیوند در هر تراز با استفاده از چهار تابع انتخاب شده برای توزیع مقاومتی تیرهای پیوند، به دست می‌آید. در جدول ۱ توزیع مقاومتی تیرها در هر چهار مورد ارائه شده است. بهمنظور بررسی تأثیر تغییرات مقاومتی تیرهای پیوند، هریک از قاب‌ها را تحت سه زلزله قرار داده و به تحلیل غیرخطی پویا می‌پردازم. برای انجام این تحلیل از زلزله‌های الستترو (۱۹۴۰)، سیلمار در نورتریج (۱۹۹۴) و نیوهال در نورتریج (۱۹۹۴) استفاده کردیم. توزیع بیشینه تغییر

جدول ۱. توزیع نسبی مقاومت‌های تیرپیوند در ۴ قاب ۶ طبقه‌ی مهاربندی شده‌ی واگرای خمی.

جدول ۳. ابعاد تیرهای پیوند و تیرهای خارج از ناحیه‌ی پیوند قاب‌های مهاربندی شده‌ی واگرای خمشی با $b=0,75$ و $b=1,00$.

$b = 0,75$						
مقاطع ستون‌ها	مقاطع بادبندها	$h \times b \times t_f \times t_w$ (cm)	تیر	$h \times b \times t_f \times t_w$ (cm)	تیر پیوند	طبقه
W ۱۴ × ۶۱	Ts ۱۰ × ۱۰ × ۳,۸	۳۷ × ۲۰ × ۲,۵ × ۱,۵	B7	۳۷ × ۲۸ × ۲ × ۱,۵	B1	۶
W ۱۴ × ۹۰	Ts ۱۲ × ۱۲ × ۳,۸	۳۹ × ۴۰ × ۲,۵ × ۲,۵	B8	۳۹ × ۳۵ × ۲,۵ × ۱,۵	B2	۵
W ۱۴ × ۹۰	Ts ۱۲ × ۱۲ × ۳,۸	۴۲,۵ × ۴۶ × ۲,۵ × ۲,۵	B9	۴۲,۵ × ۴۱ × ۲,۵ × ۱,۵	B3	۴
W ۱۴ × ۹۰	Ts ۱۲ × ۱۲ × ۵,۸	۴۷ × ۴۷ × ۲,۵ × ۳	B10	۴۷ × ۴۲ × ۲,۵ × ۱,۵	B4	۳
W ۱۴ × ۹۰	Ts ۱۲ × ۱۲ × ۵,۸	۴۸ × ۴۸ × ۲,۵ × ۳	B11	۴۸ × ۴۴,۵ × ۲,۵ × ۱,۵	B5	۲
W ۱۴ × ۹۰	Ts ۱۲ × ۱۲ × ۵,۸	۴۹ × ۴۹ × ۲,۵ × ۳	B12	۴۹ × ۴۵ × ۲,۵ × ۱,۵	B6	۱

$b = 1$						
مقاطع ستون‌ها	مقاطع بادبندها	$h \times b \times t_f \times t_w$ (cm)	تیر	$h \times b \times t_f \times t_w$ (cm)	تیر پیوند	طبقه
W ۱۰ × ۲۳	Ts ۱۰ × ۱۰ × ۳,۸	۳۲ × ۳۰ × ۲ × ۲	B7	۳۲ × ۲۶ × ۲ × ۱,۵	B1	۶
W ۱۰ × ۲۳	Ts ۱۲ × ۱۲ × ۳,۸	۴۰ × ۴۴ × ۲ × ۲	B8	۴۰ × ۳۸ × ۲ × ۱,۵	B2	۵
W ۱۰ × ۲۳	Ts ۱۲ × ۱۲ × ۳,۸	۴۳ × ۴۷ × ۲,۵ × ۲,۵	B9	۴۳ × ۴۰ × ۲ × ۱,۵	B3	۴
W ۱۰ × ۲۳	Ts ۱۲ × ۱۲ × ۵,۸	۴۹ × ۴۷ × ۲,۵ × ۲,۵	B10	۴۹ × ۴۱ × ۲,۵ × ۱,۵	B4	۳
W ۱۰ × ۴۵	Ts ۱۲ × ۱۲ × ۵,۸	۵۱ × ۴۸ × ۲,۵ × ۳	B11	۵۱ × ۴۳ × ۲,۵ × ۱,۵	B5	۲
W ۱۰ × ۵۴	Ts ۱۲ × ۱۲ × ۵,۸	۵۲ × ۴۹ × ۲,۵ × ۳	B12	۵۲ × ۴۴,۵ × ۲,۵ × ۱,۵	B6	۱



حداکثر تغییر مکان میان طبقه بی

شکل ۲. بیشترین تغییر مکان جانبی نسبی ۴ قاب ۶ طبقه‌ی مهاربندی شده‌ی واگرای خمشی برای مقادیر مختلف b .

سازه به تغییر مکان جانبی نسبی نهایی این سازوکار حفظ می‌شود، ظرفیت تیر پیوند در طبقه‌ی i و دهانه‌ی زام است.

$$V_{lij} = \frac{W_{gij} e_{ij}}{2} + \frac{2\xi M_{pbij}}{e_{ij}} \quad (21)$$

در حالت نهایی را با اعمال ضریب افزایش مقاومت (ξ) افزایش می‌دهیم و با این فرض مهاربندها را طراحی می‌کنیم.

در شکل ۵، M_{pbij} ظرفیت خمشی تیر پیوند با اعمال ضریب افزایش مقاومت در رابطه‌ی W_{gij} و دهانه‌ی زام، V_{lij} برش نظریه‌تلیم خمشی تیر پیوند در حالت نهایی با توجه به این که اتصال تیر به ستون و مهاربند به تیر و ستون مفصلی است، تعادل در طبقه‌ی i و دهانه‌ی زام، V_{lij} بر شرط نظریه‌تلیم خمشی تیر پیوند در حالت نهایی

نامساوی ۲۳ به سطح مقطع مهاربندها دست پیدا می‌کنیم:

$$f_{bij} \leq \varphi_c F_{cr} A_{gij} \quad (23)$$

ضریب مقاومتی است که طبق آین نامه‌ی AISC-LRFD برابر ۰,۸۵ است. سطح مقطع مهاربند واقع در طبقه‌ی i نام و در دهانه‌ی زام، و F_{cr} تنش بحرانی مهاربند است.

۴.۳. طراحی تیرهای خارج از ناحیه‌ی پیوند

برای به دست آوردن نیروهای طراحی تیرهای خارج از ناحیه‌ی تیرپیوند از شکل ۵ استفاده می‌شود. با داشتن مقدار نیروی مهاربند و نوشتن تعادل نیروها در جهت y مقدار برش بیشینه‌ی تیر خارج پیوند برابر است با:

$$V_{eij} = f_{bij} \sin \theta_{ij} - V_{lij} - W_{gij} \left(\frac{l_{ij} - e_{ij}}{2} \right) \quad (24)$$

که در آن z_{ij} برش بیشینه‌ی تیر خارج از ناحیه‌ی پیوند در طبقه‌ی i و دهانه‌ی زام است. مقدار نیروی محوری در تیر خارج از ناحیه‌ی پیوند در طبقه‌ی i و دهانه‌ی زام برابر است با:

$$f_{eij} = f_{bij} \cos \theta_{ij} \quad (25)$$

مقدار ممان بیشینه در تیر خارج از ناحیه‌ی پیوند در طبقه‌ی i و دهانه‌ی زام برابر است با:

$$M_{eij} = \xi M_{pbij} \quad (26)$$

۵.۳. طراحی ستون‌های هم‌جوار مهاربند

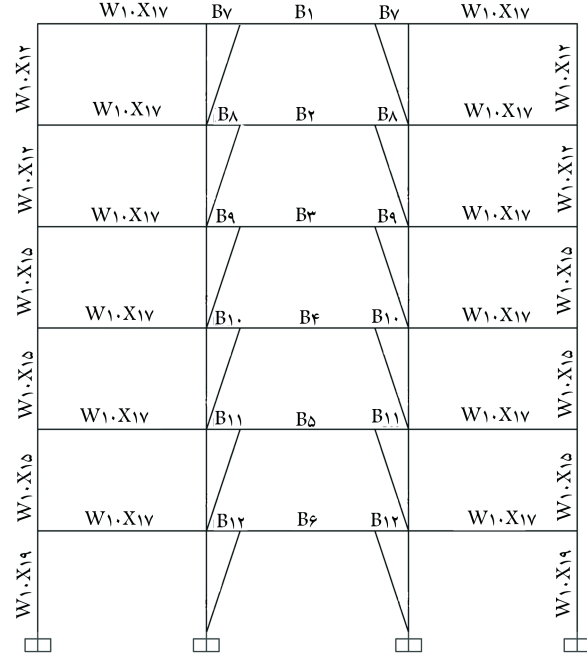
ستون‌های واقع شده کنار مهاربندها نیز از اعضای کترل‌شونده توسط نیرو هستند و باید براساس حداکثر ظرفیت عضوهای کترل‌شونده برآثر تغیر شکل طراحی شوند. در این حالت نیز ممان ایجاد شده در تیر پیوند در حالت نهایی را می‌توان با اعمال ضریب افزایش مقاومت (۴) افزایش داده و با این فرض ستون‌های هم‌جوار مهاربندها را طراحی کرد. بنابراین مقدار نیروی اینرسی جانبی که از قبل به دست آمده باید یکبار دیگر محاسبه شود. در شکل ۶، نمودار آزاد یکی از ستون‌های کنار مهاربند قاب شکل ۱ نشان داده شده است. این ستون، ستون مشترک دهانه‌های s و $s-1$ است. با برش زدن در بالا و پایین ستون در هر تراز مقدار ممان بالا و پایین ستون در هر طبقه را به دست می‌آوریم. تعادل ممان نسبت به پای ستون در نظر گرفته می‌شود:

$$\begin{aligned} \sum_{i=1}^n F_{iu} h_i &= \sum_{i=1}^n \xi M_{pbis} + \sum_{i=1}^n V_{lis} \left(\frac{l_{is} - e_{is}}{2} - \theta_p h_i \right) \\ &+ \sum_{i=1}^n W_{gis} \frac{(l_{is} - e_{is})}{2} \left(\frac{(l_{is} - e_{is})}{4} - \theta_p h_i \right) \\ &- \sum_{i=1}^n W_{gi(s-1)} \frac{l_{i(s-1)}}{2} \theta_p h_i \end{aligned} \quad (27)$$

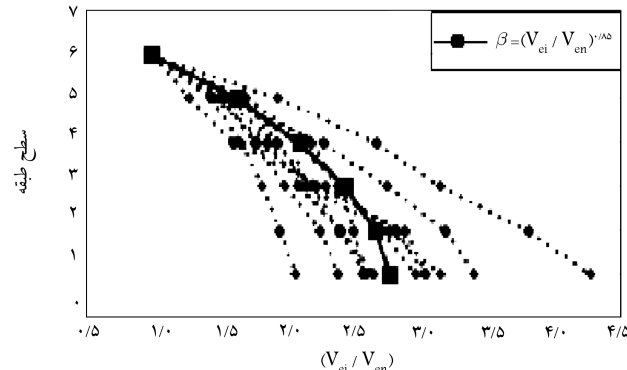
برای توزیع نیروی اینرسی در ارتفاع از رابطه‌ی ۲۸ استفاده می‌شود:

$$F_{iu} = \frac{W_i h_i^k}{\sum_{j=1}^n W_j h_j^k} V_u \quad (28)$$

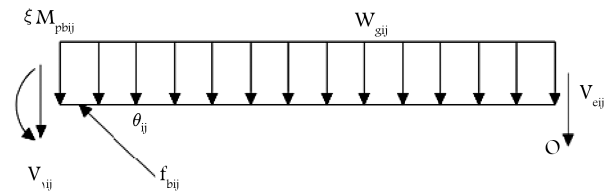
مقدار k در رابطه‌ی ۸ داده شده است. با جایگذاری رابطه‌ی ۲۸ در رابطه‌ی ۲۷ و



شکل ۳. ابعاد اعضای قاب شش طبقه.



شکل ۴. توزیع برش‌های طبقات ۶ قاب ۶ طبقه‌ی مهاربندی شده‌ی واگرای خمسی برای مقادیر متفاوت b تحت سه زلزله.



شکل ۵. نمودار آزاد تیر خارج از تیر پیوند در قاب مهاربندی واگرای.

محان نسبت به نقطه‌ی O برابر است با:

$$f_{bij} = \frac{\gamma}{(l_{ij} - e_{ij}) \sin \theta_{ij}} \left(\xi M_{pbij} + W_{gij} \frac{(l_{ij} - e_{ij})}{4} + V_{lij} \frac{(l_{ij} - e_{ij})}{2} \right) \quad (22)$$

که در آن f_{bij} نیروی مهاربند در طبقه‌ی i نام و در دهانه‌ی زام، j زاویه‌ی بین تیر پیوند و تیر خارج از تیر پیوند در طبقه‌ی i نام و در دهانه‌ی زام است. با استفاده از

که در آن $M_{ct}(h)$ ممان بالای ستون بهارتفاع h از سطح زمین است. ممان پایین ستون در هر تراز برابر است با:

$$\begin{aligned} M_{cb}(h) = & - \sum_{i=1}^n \delta_i F_{iu} (h_i - h) \\ & + \sum_{i=1}^n V_{lis} \left(\frac{l_{is} - e_{is}}{2} - \theta_p (h_i - h) \right) + \sum_{i=1}^n \delta_i \xi M_{pbis} \\ & + \sum_{i=1}^n \delta_i W_{gis} \frac{(l_{is} - e_{is})}{2} \left(\frac{(l_{is} - e_{is})}{4} - \theta_p (h_i - h) \right) \\ & - \sum_{i=1}^n \delta_i W_{gi(s-1)} \frac{l_{i(s-1)}}{2} \theta_p (h_i - h) \end{aligned} \quad (34)$$

که در آن $M_{cb}(h)$ ممان پایین ستونی بهارتفاع h از سطح زمین است. برای این که مفاصل در ستون‌ها در ترازهای پایین زدودت از ترازهای بالاتر، و پس از تسليم در تیرهای پیوند اتفاق بیفت، ممان پایین ستون را از پایین به بالا به مقدار ۱۰٪ افزایش می‌دهیم:

$$M_{cbs}(h) = (1 + 0.1) \frac{h}{h_i} M_{cb}(h) \quad (35)$$

که در آن $M_{cbs}(h)$ ممان افزایش داده شده در پایین ستونی بهارتفاع h از سطح زمین است. نیروی محوری در ستونی بهارتفاع h از سطح زمین برابر است با:

$$\begin{aligned} P_c(h) = & \sum_{i=1}^n \delta_i V_{lis} \frac{(l_{is} - e_{is})}{2} + \sum_{i=1}^n \delta_i W_{gis} \frac{(l_{is} - e_{is})}{2} \\ & + \sum_{i=1}^n \delta_i W_{gi(s-1)} \frac{l_{i(s-1)}}{2} - f_{bhs} \sin \theta_{hs} \end{aligned} \quad (36)$$

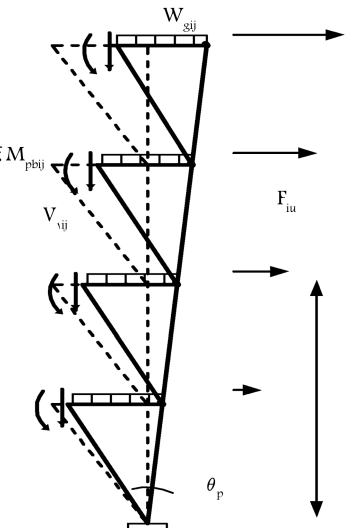
که در آن $P_c(h)$ نیروی محوری ستونی بهارتفاع h از سطح زمین در شکل ۶ است. با به دست آوردن ممان از روابط ۳۵ و ۳۳ و مقدار نیروی محوری با استفاده از رابطه‌ی ۳۶، هر ستون با استفاده از آین نامه‌ی AISC-LRFD به صورت تیرستون طراحی می‌شود.

۴ مقایسه‌ی پاسخ لرزه‌یی قاب مهاربندی شده‌ی واگرای خمی ۱۰ طبقه، طراحی شده به روش انرژی و ایستایی معادل

به منظور مقایسه‌ی پاسخ لرزه‌یی قاب‌های خمی طراحی شده به روش انرژی و ایستایی معادل، یک قاب ۱۰ طبقه را در نظر گرفته و آن را با روش انرژی و ایستایی معادل طراحی کرده و سپس تحلیل ایستایی غیرخطی را برای هر قاب انجام می‌دهیم؛ در نهایت نتایج آنها را با هم مقایسه می‌کنیم.

قاب ۱۰ طبقه‌یی با خصوصیات مشابه قاب‌های ۶ طبقه که در بخش ۲.۳. بیان شد، در نظر گرفته می‌شود. شدت بارهای مرده و زنده‌ی وارده بر تیرهای قاب سازه به ترتیب برابر m/kg ۲۵۰۰ و kg/m ۲۶۰ است. با فرض تغییر مکان جانبی نسبی کشسان ۱٪، اگر تغییر مکان جانبی نسبی مجذوب برابر ۰.۲٪ باشد پس مقدار تغییر مکان جانبی نسبی خمیری ۱٪ خواهد بود. ابعاد نهایی دو قاب طراحی شده به روش انرژی و ایستایی معادل در جداول ۴ و ۵ نشان داده شده است.

وزن قاب متعارف طراحی شده برابر ۲۶۰/۶ تن، وزن قاب باز طراحی شده ۲۶۱ تن است که نقاوت آنها ناچیز است. به منظور مقایسه‌ی پاسخ لرزه‌یی دو قاب،



شکل ۶. نمودار آزاد ستون مشترک دهانه‌های s و ۱- در قاب شکل ۱، در وضعیت تغییر شکل یافته‌ی نهایی.

حل آن، مقدار V_u برابر خواهد بود با:

$$\begin{aligned} V_u = & \left(\frac{\sum_{i=1}^n W_i h_i^k}{\sum_{i=1}^n W_i h_i^{k+1}} \right) \left(\sum_{i=1}^n \xi M_{pbis} + \sum_{i=1}^n V_{lis} \left(\frac{l_{is} - e_{is}}{2} - \theta_p h_i \right) \right. \\ & \left. + \sum_{i=1}^n W_{gis} \frac{(l_{is} - e_{is})}{2} \left(\frac{(l_{is} - e_{is})}{4} - \theta_p h_i \right) \right. \\ & \left. - \sum_{i=1}^n W_{gi(s-1)} \frac{l_{i(s-1)}}{2} \theta_p h_i \right) \end{aligned} \quad (39)$$

با جایگذاری رابطه‌ی ۲۸ در رابطه‌ی ۲۹، نیروی اینرسی در هر تراز به دست می‌آید:

$$\begin{aligned} F_{iu} = & \left(\frac{W_i h_i^k}{\sum_{i=1}^n W_i h_i^{k+1}} \right) \left(\sum_{i=1}^n \xi M_{pbis} + \sum_{i=1}^n V_{lis} \left(\frac{l_{is} - e_{is}}{2} - \theta_p h_i \right) \right. \\ & \left. + \sum_{i=1}^n W_{gis} \frac{(l_{is} - e_{is})}{2} \left(\frac{(l_{is} - e_{is})}{4} - \theta_p h_i \right) \right. \\ & \left. - \sum_{i=1}^n W_{gi(s-1)} \frac{l_{i(s-1)}}{2} \theta_p h_i \right) \end{aligned} \quad (40)$$

با داشتن مقدار F_{iu} از رابطه‌ی ۳۰، توزیع ممان در ستون با زدن برش در هر تراز آن به دست می‌آید. ممان بالای ستون در هر تراز برابر است با:

$$\begin{aligned} M_{ct}(h) = & - \sum_{i=1}^n \delta_i F_{iu} (h_i - h) + \sum_{i=1}^n V_{lis} \left(\frac{l_{is} - e_{is}}{2} - \theta_p (h_i - h) \right) \\ & - f_{bhs} \sin \theta_{hs} \left(\frac{l_{hs} - e_{hs}}{2} \right) + \sum_{i=1}^n \delta_i \xi M_{pbis} \\ & + \sum_{i=1}^n \delta_i W_{gis} \frac{(l_{is} - e_{is})}{2} \left(\frac{(l_{is} - e_{is})}{4} - \theta_p (h_i - h) \right) \\ & - \sum_{i=1}^n \delta_i W_{gi(s-1)} \frac{l_{i(s-1)}}{2} \theta_p (h_i - h) \end{aligned} \quad (41)$$

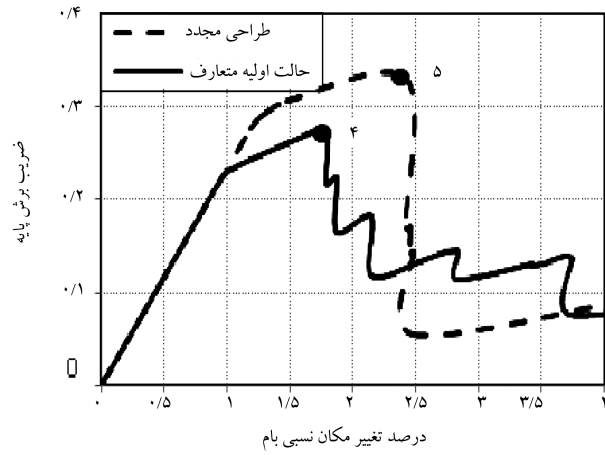
$$\delta_i = 1 \text{ if } h < h_i \quad (42)$$

$$\delta_i = 0 \text{ if } h > h_i \quad (43)$$

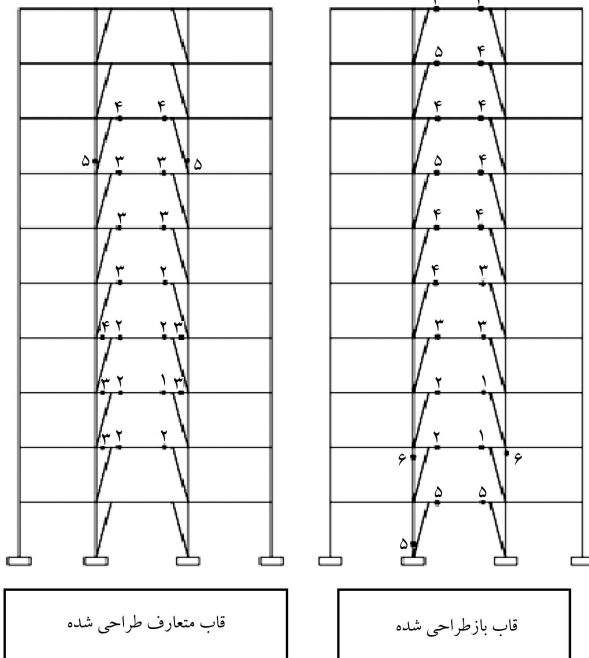
مجاز باربری خود را حفظ کرده است. در قاب طراحی شده به روش ایستایی معادل علی‌رغم این که ضوابط طراحی لرزه‌ی قاب‌های واگرا رعایت شده، به علت چرخش بعضی از مفاصل تشکیل شده در سازه به مقدار بیشینه، قبل از رسیدن سازه به تغییرمکان مجاز سازه باربری خود را از دست می‌دهد. بنابراین میزان انرژی تلف شده که همان سطح زیرمنحنی برش پایه - تغییر مکان است به میزان قابل توجهی کاهش می‌یابد.

در شکل ۸ مراحل تشکیل مفاصل خمیری در دو قاب باز طراحی شده به روش انرژی و متعارف طراحی شده به روش ایستایی معادل نشان داده شده است. چنان‌که مشاهده می‌شود در قاب طراحی شده به روش انرژی، مفاصل خمیری در تمام تیرهای پیوند تشکیل شده که باعث افزایش جذب و استهلاک انرژی و لذا شکل‌پذیری سازه شده است.

در قاب متعارف طراحی شده، اگرچه ضوابط طراحی لرزه‌ی رعایت شده، قبل



شکل ۷. منحنی برش پایه - تغییر مکان نسبی با مقدار تغییر مکان نسبی بام



شکل ۸. مراحل تشکیل مفاصل خمیری در دو قاب.

جدول ۴. ابعاد تیرهای پیوند، تیرهای خارج از ناحیه‌ی پیوند، مهاربندها و ستون‌های هم‌جوار با مهاربند قاب طراحی شده به روش انرژی.

تیر پیوند	$h \times b \times t_f \times t_w (\text{cm})$
B1	۳۶ × ۲۵ × ۲ × ۱,۵
B2	۴۱ × ۳۲ × ۲,۵ × ۱,۵
B3	۴۶,۵ × ۳۷ × ۲,۵ × ۱,۵
B4	۵۰ × ۴۱ × ۲,۵ × ۱,۵
B5	۵۳ × ۴۴ × ۲,۵ × ۱,۵
B6	۵۷ × ۴۴ × ۲,۵ × ۱,۵
B7	۵۸ × ۴۶ × ۲,۵ × ۱,۵
B8	۶۱ × ۴۲ × ۲,۵ × ۲
B9	۶۲ × ۴۲,۵ × ۲,۵ × ۲
B10	۳۶ × ۳۳ × ۲ × ۱,۵
B11	۴۱ × ۳۸ × ۲,۵ × ۲,۵
B12	۴۶,۵ × ۴۵ × ۲,۵ × ۲,۵
B13	۵۰ × ۴۷ × ۲,۵ × ۳
B14	۵۳ × ۴۹ × ۲,۵ × ۳
B15	۵۷ × ۴۸ × ۲,۵ × ۳
B16	۵۸ × ۵۱ × ۲,۵ × ۳
B17	۶۱ × ۴۹ × ۲,۵ × ۳
B18	۶۲ × ۵۰ × ۲,۵ × ۳

قطعه ستون	قطعه بادبند	طبقه
W ۱۴ × ۶۱	TS ۱۰ × ۱۰ × ۳,۸	۱۰
W ۱۴ × ۱۲۰	TS ۱۰ × ۱۰ × ۳,۸	۹
W ۱۴ × ۱۴۵	TS ۱۲ × ۱۲ × ۵,۸	۸
W ۱۴ × ۱۵۹	TS ۱۲ × ۱۲ × ۵,۸	۷
W ۱۴ × ۱۵۹	TS ۱۲ × ۱۲ × ۵,۸	۶
W ۱۴ × ۱۵۹	TS ۱۲ × ۱۲ × ۵,۸	۵
W ۱۴ × ۱۷۶	TS ۱۲ × ۱۲ × ۵,۸	۴
W ۱۴ × ۱۷۶	TS ۱۲ × ۱۲ × ۵,۸	۳
W ۱۴ × ۱۷۶	TS ۱۲ × ۱۲ × ۵,۸	۲
W ۱۴ × ۱۹۳	TS ۱۲ × ۱۲ × ۵,۸	۱

تحلیل ایستایی غیرخطی برای هر دو قاب انجام می‌دهیم. پوش نیرو - تغییر مکان دو قاب در شکل ۷ نشان داده شده است. خط ممتد نشان‌گر نمودار قاب طراحی شده به روش متعارف، و خط‌چین نشان‌گر نمودار نیرو - تغییر مکان قاب طراحی شده به روش انرژی است. چنان‌که در شکل ۷ مشاهده می‌شود، شکل‌پذیری قاب باز طراحی شده بیشتر از قاب طراحی شده به روش متعارف است و تا تغییر مکان نسبی

جدول ۵. ابعاد تیرهای پیوند، تیرهای خارج از ناحیه پیوند، مهاربندها و ستون‌های همچوار با مهاربند قاب طراحی شده به روش ایستایی معادل.

قطعه ستون	قطعه بادیند	قطعه تیر	قطعه تیر پیوند	طبقه
W ۱۴ × ۱۲۰	Ts ۱۰ × ۱۰ × ۳,۸	W ۲۴ × ۱۰۳	W ۲۴ × ۹۴	۱۰
W ۱۴ × ۱۲۰	Ts ۱۰ × ۱۰ × ۳,۸	W ۲۴ × ۱۰۳	W ۲۴ × ۹۴	۹
W ۱۴ × ۱۲۰	Ts ۱۰ × ۱۰ × ۳,۸	W ۲۴ × ۱۰۳	W ۲۴ × ۹۴	۸
W ۱۴ × ۲۳۲	Ts ۱۲ × ۱۲ × ۱,۲	W ۲۴ × ۱۶۲	W ۲۴ × ۱۱۷	۷
W ۱۴ × ۲۳۲	Ts ۱۲ × ۱۲ × ۱,۲	W ۲۴ × ۱۶۲	W ۲۴ × ۱۱۷	۶
W ۱۴ × ۲۳۲	Ts ۱۲ × ۱۲ × ۱,۲	W ۲۴ × ۱۶۲	W ۲۴ × ۱۱۷	۵
W ۱۴ × ۳۴۲	Ts ۱۲ × ۱۲ × ۱,۲	W ۲۴ × ۱۷۶	W ۲۴ × ۱۳۱	۴
W ۱۴ × ۳۴۲	Ts ۱۲ × ۱۲ × ۱,۲	W ۲۴ × ۱۷۶	W ۲۴ × ۱۳۱	۳
W ۱۴ × ۳۴۲	Ts ۱۲ × ۱۲ × ۱,۲	W ۲۴ × ۱۷۶	W ۲۴ × ۱۳۱	۲
W ۱۴ × ۳۴۲	Ts ۱۲ × ۱۲ × ۱,۲	W ۲۴ × ۱۷۶	W ۲۴ × ۱۳۱	۱

نایابداری شود که فقط بعضی از اعضای شکل پذیر خمیری شده‌اند؛ در این صورت کاهاش باربری سازه و کاهاش جذب واستهلاک انرژی زلزله و لذا کاهاش شکل پذیری سازه رخ خواهد داد.

در روش انرژی خصوصیات سازه، بهخصوص شکل پذیری و سازوکار تسليم سازه در مرحله‌ی نهایی به صورت واضحی در محاسبه‌ی نیروهای طراحی استفاده می‌شود که می‌تواند متضمن تشکیل سازوکار مطلوبی برای سازه باشد. تنایع تحلیل ایستایی غیرخطی قاب‌های ۶ و ۱۰ طبقه نشان می‌دهد که طراحی به روش انرژی باعث افزایش جذب واستهلاک انرژی زلزله و لذا شکل پذیری پیشتر سازه می‌شود. با استفاده از این روش ضمن متناسب‌کردن اعضای شکل پذیر می‌توان از تمام اعضای شکل پذیر در تلفکردن انرژی ورودی زلزله بهره جست.

تقدیر و تشکر

از حمایت مالی پردیس دانشکده‌های فنی در قالب طرح پژوهشی ۸۱۰۸۰۲۰/۱،۳۰ تقدیر می‌شود.

از این که مفاصل خمیری در تمام تیرهای پیوند تشکیل شود اعضای کتترل شونده توسط نیرو تسليم شده‌اند و سازه در سازوکار مطلوبی تسليم نشده است.

۵. نتیجه‌گیری

در این پژوهش طراحی لرزه‌یی قاب‌های مهاربندی شده‌ی و اگرای خمشی با استفاده از مفهوم انرژی و همچنین یافتن روابطی برای جلوگیری از تشکیل سازوکارهای نایابدار مدنظر بوده است، که نوآوری این تحقیق به حساب می‌آید.

در روش طراحی لرزه‌یی متناول ابعاد اعضای کتترل شونده توسط نیرو با استفاده از نیروی زلزله‌ی کاهاش یافته محاسبه می‌شود و سپس ابعاد اعضای کتترل شونده توسط نیرو متناسب با این اعضا برای تحمل نیروی زلزله‌ی بیشینه‌ی مورد انتظار طراحی می‌شوند به نحوی که بتوانند شرایط ایجاد مفصل خمیری را به طور موضوعی در آن‌ها ایجاد کنند. در این روش تضمینی برای سهیم‌شدن تمام اعضای شکل پذیر سازه در اتفاق انرژی ورودی زلزله وجود ندارد و ممکن است سازه زمانی دچار

منابع

1. eelataviwat, S.; Goal, S.C. and Stojadinovic, B. "Energy-based seismic design of structures using yield mechanism and target drift", *journal of Structural Engineering, ASCE*, **128**(8) (2002).
2. Leelataviwat, S.; Subhash, C. and Goal, Bozidar Stojadinovic. "Toward performance-based seismic design of structures", *Earthquake spectra*, **15**(3), pp. 435-461 (1999).
3. Housner, G.W. "Limit design of structures to resist earth-
- quakes", *Proc., 1st World Conf. on Earthquake Engineering*, Earthquake Engineering Research Institute, Oakland, Calif., **5**, pp. 1-13 (1956).
4. Akiyama, H., *Earthquake-Resistant Limit-State Design of Buildings*, Univ. of Tokyo Press, Tokyo (1985).
5. Kato, B. and Akiyama, H. "Seismic design of steel buildings", *J. Struct. Div., ASCE*, **108**(8), pp. 1709-1721 (1982).
6. BHRC, Iranian code of practice for seismic resistant design of buildings, Standard No.2800-05, 3rd Edition (2005).

